

УДК 538.945

©1993

## ПЕРЕХОД КОСТЕРЛИЦА-ТАУЛЕСА В СИСТЕМЕ С ПЕРКОЛЯЦИЕЙ

Ю.Е.Лозовик, Л.М.Помирчи

Методом Монте-Карло проведено моделирование разбавленной системы джозефсоновских переходов на плоскости, описываемой разбавленной XY-моделью (со случайно распределенными связями  $J_{ij} = 0$  или  $J$ ). Фазовый переход в системе определяется по нарушению степенного закона убывания функции корреляции фаз и скачку модуля спиральности. Показано, что в разбавленной системе выше порога перколяции имеет место фазовый переход типа Костерлица-Таулеса. Построена фазовая кривая этого перехода  $T_c(p)$  (где  $p$  — доля связей с  $J_{ij} = J$ ). Рассчитан критический индекс  $\nu$  в зависимости  $T_c(p) \sim (p - p_c)^\nu$ . Полученное значение  $\nu = 1.55$  согласуется с экспериментальными данными.

1. Оксидные сверхпроводники, изготовленные по керамической технологии, чаще всего имеют гранулированную структуру. Характерные размеры зерен имеют порядок 1 мкм. Однако, как было показано исследованием лантановой керамики в магнитном поле, внутри этих зерен имеются еще меньшие структурные образования со слабой (джозефсоновской) связью между ними [1].

В основном гранулированную структуру имеют также пленки сверхпроводников [2-4]. Для качественного рассмотрения мы предполагаем, что ниже температуры сверхпроводящего перехода (для идеализированной массивной системы) все гранулы имеют один и тот же модуль параметра порядка (одну и ту же сверхпроводящую щель  $2\Delta(T)$ ). Последнее справедливо, когда материал достаточно однороден по составу и керамической структуре и когда размеры гранул достаточно велики, чтобы можно было пренебречь влиянием размерных эффектов (см., например, [5]). Термодинамические флуктуации модуля параметра порядка в рассматриваемой области температур малы, хотя для оксидных сверхпроводников они значительно выше, чем в обычных сверхпроводниках. Флуктуации же фазы параметра порядка, связанной со значительно меньшими энергиями (в длинноволновом пределе частота колебаний фазы стремится к нулю; см., например, [6]), могут быть существенными. В такой ситуации система описывается моделью: система областей  $i$  с фиксированным модулем параметра порядка  $\Delta$  и флуктуирующими фазами  $\varphi_i$ , связанными между собой слабыми (джозефсоновскими) связями (см., например, [6-11]).

Гамильтонова функция системы в отсутствие магнитного поля имеет вид

$$H = \sum_{ij} J_{ij} (1 - \cos(\varphi_i - \varphi_j)), \quad (1)$$

где  $\varphi_i, \varphi_j$  — фазы параметра порядка,  $J_{ij}$  — константы джозефсоновской связи между соседними областями. Константы связи  $J_{ij}$  выражаются через ширину сверхпроводящей щели и сопротивление туннельного перехода в контактах между гранулами в нормальном состоянии (см., например, [11]).

Свойства идеализированной модели с однородными связями  $J_{ij} = J$  достаточно подробно проанализированы (см. [6–10] и цитированную там литературу). Такая модель может быть с хорошим приближением реализована в изготовленной с помощью специальной технологии решетке из джозефсоновских переходов [12]. Однако в большинстве экспериментально исследуемых гранулированных сверхпроводников, в том числе в тонких пленках, константы  $J_{ij}$  распределены случайным образом. В этой связи возникает важная задача — исследовать роль случайного распределения джозефсоновских связей на различные свойства системы, в частности на переход гранулированной системы в (глобальное) сверхпроводящее состояние.

В настоящей работе рассматривается модельная система: квадратная решетка размером  $N = 30 \times 30$  с гамильтоновой функцией (1) и с различными распределениями констант связи  $J_{ij}$ . Термодинамические функции системы рассчитывались методом Монте-Карло (алгоритм Метрополиса). Численный расчет этой модели с одинаковыми константами  $J$  ( $XU$ -модель) был проведен Тобочником и Честером [13] (см. также расчет этой модели с помощью молекулярной динамики [14]). В однородной  $XU$ -модели происходит топологический фазовый переход Костерлица–Таулеса [15], связанный с диссоциацией противоположно направленных вихрей (см. также обзор [10] и работы [6–8]).

В неограниченной  $XU$ -модели среднеквадратичная флуктуация фазы расходится логарифмически с увеличением размера системы. В этой модели фазовая корреляционная функция  $g(r) = \langle \cos(\varphi(r) - \varphi(0)) \rangle$  аппроксимируется при низких температурах степенной функцией  $1/r^{\alpha(T)}$  (квазидальний порядок), а при высоких — как  $\exp(-r/\xi)$  [16,17]. Неаналитическое поведение  $g(r)$  по температуре означает существование фазового перехода, соответствующего исчезновению квазидальнего порядка. Такой переход, как будет показано, существует и в рассматриваемой разбавленной джозефсоновской среде выше порога перколяции. Мы рассчитаем кривую фазового перехода в плоскости температура–концентрация ненулевых джозефсоновских связей  $p$  и найдем критический индекс в зависимости  $T_c(p)$ .

2. Для разбавленной системы с гамильтоновой функцией (1), рассматриваемой в настоящей работе, константы связи равны  $J$  или нулю и распределены случайным образом равномерно по системе. Долю ненулевых констант связи обозначим  $p$ . Квазидальний порядок в разбавленной системе может возникнуть только для  $p \geq p_c$  ( $p_c = 0.5$  — порог перколяции для задачи связей на квадратной решетке).

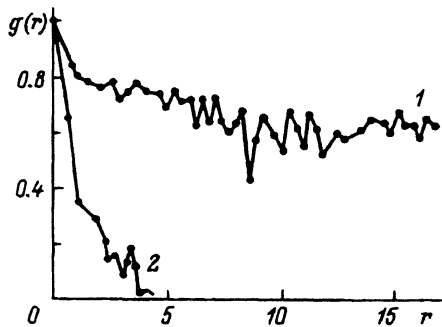


Рис. 1. Корреляционная функция фаз  $g(r)$  вблизи  $T_c(p)$  для  $p = 0.65$ .

$T/J = 0.240$  (1),  $0.260$  (2) ( $T_c/J = 0.250$  при  $p = 0.65$ ). Координаты по оси  $x$  взяты в единицах расстояния между узлами.

Целью настоящей работы было определение температуры исчезновения квазидальнего порядка в разбавленной системе во всем диапазоне  $p > p_c$ . Было проведено моделирование методом Монте-Карло для  $p = 0.55, 0.6, 0.65, 0.7, 0.8, 0.9, 1.0$ . При каждом значении  $p$  в качестве начального было выбрано состояние с одинаковыми фазами. Затем температура системы повышалась с достаточно малым шагом  $\Delta T = 0.01 \div 0.025$  (температура приведена в единицах  $J$ ). Время релаксации на каждом температурном шаге составляло  $10^6$  шагов Монте-Карло. При таком времени релаксации среднеквадратичная ошибка для потенциальной энергии составляет  $\Delta E/E \sim 0.03$ .

На рис. 1 видно резкое изменение поведения корреляционной функции фаз при незначительном изменении температуры вблизи температуры перехода. Резкое изменение радиуса корреляции позволяет использовать  $g(r)$  для определения  $T_c(p)$ . Для каждого  $p$  и для каждой рассмотренной температуры корреляционная функция  $g(r)$  аппроксимировалась степенной зависимостью  $1/r^{\alpha_p(T)}$ .

Для значений  $p \geq 0.65$  температурная зависимость  $\alpha_p(T)$  имеет качественно такой же вид, как и для неразбавленной ( $p = 1$ ) системы (рис. 2, 3). Близкий к линейному рост  $\alpha_p(T)$  сменяется резким увели-

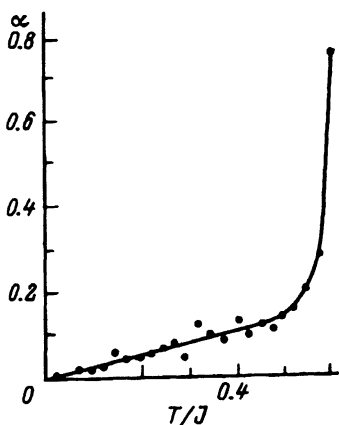


Рис. 2. Зависимость показателя  $\alpha_p(T)$  корреляционной функции  $g(r) \sim 1/r^{\alpha_p(T)}$  от температуры,  $p = 0.8$

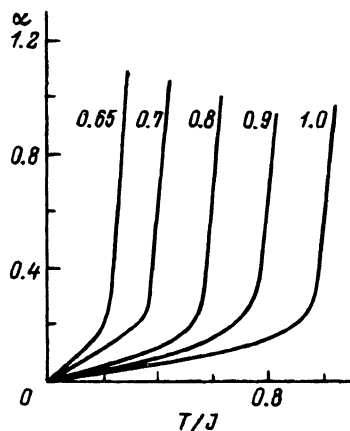


Рис. 3. Зависимость показателя  $\alpha_p(T)$  корреляционной функции  $g(r) \sim 1/r^{\alpha_p(T)}$  от температуры для значений  $p \geq 0.65$ .

чением  $\alpha_p(T)$  при некоторой температуре  $T_c(p)$ , свидетельствующим о переходе от степенной к экспоненциальной зависимости при  $T > T_c(p)$ . Этот скачок происходит при значении  $\alpha_p(T_c) = 0.2 \div 0.3$ . (Как известно, в неразбавленной системе переход Костерлица-Таулеса происходит при значении  $\alpha(T_c) = 0.25$  [18]).

Из рис. 2 видно, что  $\alpha$  определяется с довольно большим статистическим разбросом (приблизительно  $0.3\alpha$ ). Однако рост  $\alpha_p(T)$  при температуре фазового перехода в несколько раз превышает величину статистического разброса, что позволяет определить  $T_c(p)$ . В области температур  $T < T_c$  зависимость  $\alpha_p(T)$  от температуры можно аппроксимировать линейной зависимостью  $\alpha_p(T) = A_p T$ . При  $p$ , близких к единице, величина  $A_p$  линейно растет с уменьшением  $p$ . Для однородной системы в [17] получен низкотемпературный предел  $\alpha/T = 1/(2\pi)$ . Наш расчет дает для этой величины при  $p = 1$  значение 0.17, что хорошо согласуется с теоретическим значением.

Для определения температуры перехода в XY-модели удобно использовать спиральность (helicity modulus)  $\gamma$  [10]. Спиральность определяет изменение свободной энергии системы  $\Delta F$  при заданном бесконечно малом градиенте фазы  $\delta h_{ex}$ :  $\Delta F = N\gamma(\delta h_{ex})^2/2$  (в сверхтекучей жидкости  $\gamma = \rho_s(h/m)^2$ , где  $\rho_s$  — плотность сверхтекучей компоненты). Из условия устойчивости  $\Delta F > 0$  следует  $\gamma > 0$ . В обозначениях настоящей работы имеем [19]

$$\gamma = J - \frac{1}{2N} \langle H \rangle - \frac{1}{NT} \left\langle \left[ \sum_{ij} J_{ij} \sin(\varphi_i - \varphi_j) e_{ijx} \right]^2 \right\rangle, \quad (2)$$

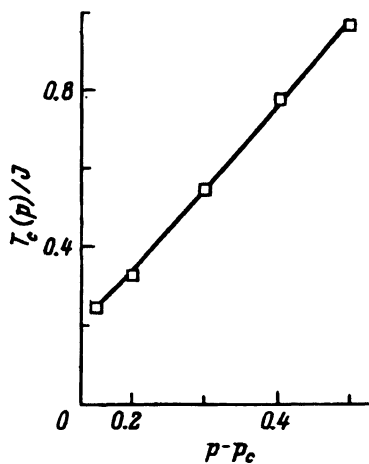
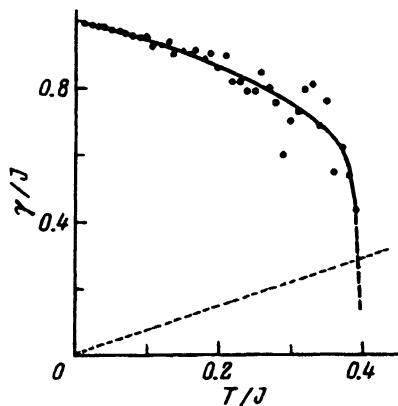


Рис. 4. Зависимость модуля спиральности (helicity modulus) от температуры.  $p = 0.7$ .

Пунктирная линия соответствует  $\gamma = (2/\pi)T$ . Изображенный штриховой линией скачок происходит выше точки пересечения  $\gamma(T)$  и  $(2/\pi)T$ .

Рис. 5. Зависимость температуры фазового перехода  $T_c(p)$  в разбавленной системе от  $p - p_c$ .

Линия соответствует аппроксимации  $(p - p_c)^{1.55}$ .

где  $e_{ij}$  — единичный вектор, соединяющий соседние точки  $i$  и  $j$ ;  $x$  — произвольное фиксированное направление в плоскости;  $\langle \rangle$  означает усреднение по термодинамическому ансамблю.

В неограниченной системе зависимость  $\gamma(T)$  должна испытать скачок при температуре перехода. В однородной системе скачок  $\gamma$  происходит при универсальном значении  $\gamma(T_c)/T_c = 2/\pi$  [18]. В неоднородной системе значение скачка может быть неуниверсальным [10].

На рис. 4 представлена зависимость  $\gamma(T)$ , полученная в наших расчетах. Зависимость  $\gamma(T)$  испытывает характерный скачок как для  $p = 1$ , так и для разбавленной системы. Для  $p = 1$  скачок происходит при значении  $\gamma_1(T)/T = 0.63$ , для  $p < 1$  величина скачка больше:  $\gamma_p(T)/T > 2/\pi$ . Неуниверсальность скачка  $\gamma_p(T)$  для перколирующей системы согласуется с аналогичным поведением  $\gamma$  для иного типа неупорядоченности [10]. Температура, при которой происходит скачок, совпадает в рамках точности расчетов с температурой  $T_c(p)$ , определенной по резкому увеличению показателя корреляционной функции  $\alpha_p(T)$ .

На рис. 5 представлена зависимость  $T_c(p)$ . Эта зависимость для значений  $p \geq 0.65$  может быть аппроксимирована степенной функцией  $T_c(p) \sim (p - p_c)^\nu$ ,  $\nu = 1.55 \pm 0.15$ . (В непосредственной близости от порога перколяции осложняется определение  $T_c(p)$  и соответственно определение критического индекса  $\nu$ ). В [20] проведено экспериментальное исследование влияния случайного беспорядка в системе из  $300 \times 300$  джозефсоновских переходов, расположенных на плоскости, на переход Костерлица–Таулеса. Зависимость температуры перехода от  $p$  в [20] определена как  $T_c(p) \sim (p - p_c)^\nu$ , где  $\nu = 1.56 \pm 0.24$ . Определенный из наших численных расчетов критический индекс  $\nu$  практически совпадает с экспериментальным.

### Список литературы

- [1] Muller K.A., Takashige M., Bednortz J.G. // Phys. Rev. Lett. 1987. V. 58. N 11. P. 1143–1147.
- [2] Strongin M., Kammerer O.F., Farrell H.H., Miller D.L. // Phys. Rev. Lett. 1973. V. 30. N 4. P. 129–132.
- [3] Wolf S.A., Gubser D.V., Imry Y. // Phys. Rev. Lett. 1979. V. 42. N 5. P. 324–327.
- [4] Fiory A.T., Hebard A.F., Glaberson W.I. // Phys. Rev. B. 1983. V. 28. N 9. P. 5075–5087; Hebard A.F., Fiory A.T. // Phys. Rev. Lett. 1987. V. 58. N 11. P. 1131–1134.
- [5] Dobriakov A.L., Letokhov V.S., Lozovik Yu.E., Puzetzy A.A. // Appl. Phys. A. 1992. V. 54. P. 100–102.
- [6] Lozovik Yu.E., Akopov S.G. // Sol. St. Comm. 1980. V. 35. N 9. P. 693–697; Физика низких температур. 1981. Т. 7. № 4. С. 521–523; J. Phys. C: Solid State Physics. 1981. V. 14. N 2. P. L31–L35.
- [7] Halperin B.I., Nelson D.R. // J. Low Temp. Phys. 1979. V. 36. N 5/6. P. 599–616.
- [8] Simanek E. // Sol. St. Comm. 1979. V. 31. N 6. P. 419–421.
- [9] Ефетов К.Б. // ЖЭТФ. 1980. Т. 78. № 5. С. 2017–2032.
- [10] Minnhagen P. // Rev. Mod. Phys. V. 59. N 4. P. 1001–1066; Minnhagen P., Weber H. // Physica B. 1988. V. 152. N 1& 2. P. 50–55.
- [11] Кулик И.О., Янсон И.К. Эффект Джозефсона в сверхпроводящих туннельных структурах. М., 1970. С. 272.
- [12] Voss R.F., Webb R.A. // Phys. Rev. B. 1982. V. 25. N 5. P. 3446–3449.
- [13] Tobochnik J., Chester G.V. // Phys. Rev. B. 1979. V. 20. N 9. P. 3761–3769.
- [14] Анфимов Д.С., Кучеров С.А., Лозовик Ю.Е. // Препринт ИСАН СССР. 1989. № 29а. С. 21.
- [15] Kosterlitz J.M., Thouless D.J. // J. Phys. C: Solid State Phys. 1973. V. 6. P. 1181–1203.

- [16] Паташинский А.З., Покровский В.Л. Флуктуационная теория фазовых переходов. М., 1982. С. 382.
- [17] Березинский В.Л. // ЖЭТФ. 1970. Т. 59. № 3(9). С. 907-920.
- [18] Nelson D.R., Kosterlitz J.M. // Phys. Rev. Lett. 1977. V. 39. N 19. P. 1201-1205.
- [19] Teitel S., Jayaprakash C. // Phys. Rev. B. 1983. V. 27. N 1. P. 598-601.
- [20] Harris D.C., Herbert S.T., Stroud D., Garland J.C. // Phys. Rev. Lett. 1991. V. 67. N 25. P. 3606-3609.

Институт спектроскопии РАН  
Троицк  
Московская область

Поступило в Редакцию  
20 апреля 1993 г.

